

Recordemos el álgebra de Clifford

$$\mathcal{A} := \underbrace{\mathbb{C}\langle \gamma_i, \gamma_i^* \mid i \in \mathbb{Z} + \frac{1}{2} \rangle}_{\left([\gamma_m, \gamma_n]_+, [\gamma_m^*, \gamma_n^*]_+, [\gamma_m^*, \gamma_n]_+ \right)}$$
$$[\alpha, \beta]_+ := \alpha\beta + \beta\alpha$$
$$\text{base } \gamma_m, m \in \mathbb{Z} + \frac{1}{2}$$
$$\mathcal{S}_{m+n, 0}$$

$$\text{Ojo } \gamma_m^2 = 0 = (\gamma_m^*)^2$$

base

$$\gamma_{m_1}, \gamma_{m_2}, \dots, \gamma_{m_r}, \gamma_{m_1}^*, \dots, \gamma_{m_s}^*$$

$$m_1 < m_2 < \dots < m_r$$

$$n_1 < n_2 < \dots < n_s$$

\mathbb{C} -base de \mathcal{A}

4. 3. El espacio de Folk remático

Consideraremos diagramas de Mayer

que son por definición cuadros

de elementos infinitos de fichas de Go

$$\begin{matrix} Q & - & C & C & C & C & \textcircled{C} & \textcircled{C} & C & C & C & \textcircled{C} & \textcircled{C} & \textcircled{C} & \textcircled{C} & \textcircled{C} & \dots \\ - & . & . & . & - & \frac{3}{2} & - & \frac{1}{2} & \frac{1}{2} & \frac{1}{2} & \frac{3}{2} & \frac{5}{2} & \dots & \dots & \dots & \dots \end{matrix}$$

Tales que para posiciones $\ll O$ todas las fichas son "blancas" y para posiciones $\gg O$ todas las fichas son "negras"

En estos diagramas los podemos condensar
en nacelinas que recorren las
posiciones de las fichas negras.

$$m_1 < m_2 < m_3 < \dots$$

con $m_i \in \mathbb{Z} + \frac{1}{2}$ y

$$m_{i+1} = m_i + 1 \quad \text{para } i \gg 0$$

y los vektornos $\underline{m} = (m_i)_{i \in \mathbb{N}_+}$

Sea $\tilde{\mathcal{F}}$ el \mathbb{C} -esp. vectorial

que tiene una base $| \underline{m} \rangle$

clase de los $\underline{m} = (m_i)_{i \in \mathbb{N}_+}$

representan los diagramas de Maya,
 y explicamos como actúan los
 fermiones ψ_i y ψ_i^* sobre
 esta base.

$$\psi_n | \underline{m} \rangle = \begin{cases} (-1)^{\sum m_{i-1}} | \dots m_{i-1}, m_i + \dots m_{i+2} \rangle & \text{si } m_i = -n \\ 0 & \text{otro caso} \end{cases}$$

$$\psi_n^* | \underline{m} \rangle = \begin{cases} (-1)^{\sum m_i} | m_1, m_2, \dots, m_i \dots \rangle & \text{si } m_i < n < m_{i+1} \\ 0 & \text{o otro caso.} \end{cases}$$

Vale la verificar que estos

Operaciones efectivamente complejas
las relaciones del álgebra de Clifford

$$-^{1/2} +^{1/2}$$

$$\begin{array}{ccccccccc} & \cdots & \bullet & \bullet & \bullet & \cdots & \\ \psi_{-1/2}^* & \swarrow & c_{-1} & c & c_{-1} & \searrow & \psi_{1/2} \\ 0 & & & & & & (-1)^{c_{-1}} \\ & \searrow & & & & \swarrow & \\ \psi_{1/2} & & & & & & \psi_{-1/2}^* \\ & & \cdots & \bullet & \bullet & \cdots & \\ & & & & & & \end{array}$$

$\gamma = (-1)^{c_{-1}} (-1)^{c_{+1}}$

Dividimos las formaciones en dos capas

$$\{ \psi_n, \psi_n^* \mid n < 0 \}$$

Operadores

de creación

$$\gamma \{ \psi_n, \psi_n^* \mid n > 0 \}$$

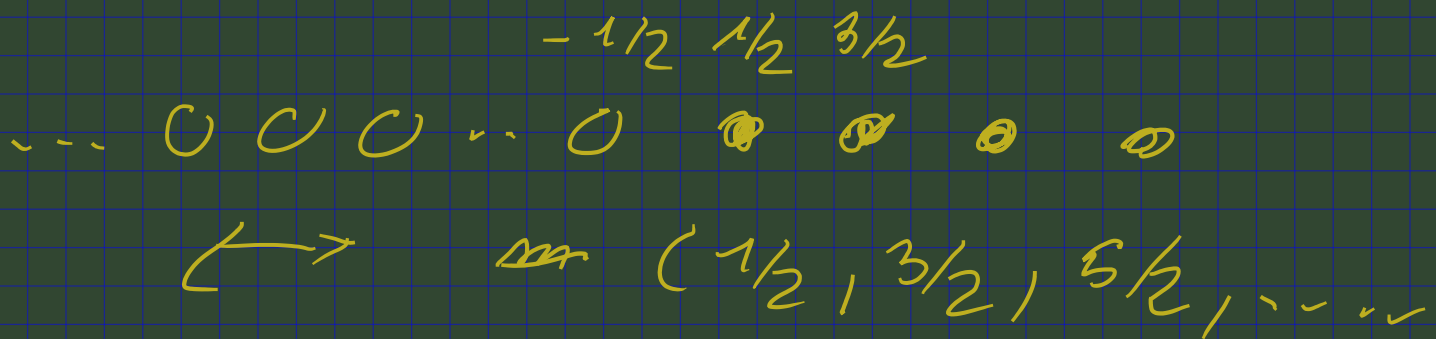
Operadores

de aniquilación

Todos los operadores de creación
anticommutan entre ellos

Y el mismo para los op. de
aniquilación.

A demás consideramos el diagrama de Maya $|\text{vac}\rangle$:



Observamos que

$$(1) \quad \gamma_n^{(*)} |\text{vac}\rangle = 0 \quad \forall n > 0$$

por eso el nombre de anihilación

$$(2) \quad \tilde{F} = \phi \cdot |\text{vac}\rangle$$

más precisamente, los diag. de
Maya se obtienen al

aplicar a $|vac\rangle$

los operadores de la forma

$$\psi_{m_1} \psi_{m_2} \dots \psi_{m_k} \psi_{n_1}^* \psi_{n_2}^* \dots \psi_n^*$$

con $m_1 < m_2 < \dots < m_k < 0$

7 $m_1 < m_2 < \dots < m_n < 0$

(Los ψ_{m_i} con $m_i < 0$ "crean" partículas en las posiciones

positivas

7 los $\psi_{n_i}^*$ con $n_i < 0$

Mueas frichas negativas en
posiciones negativas.

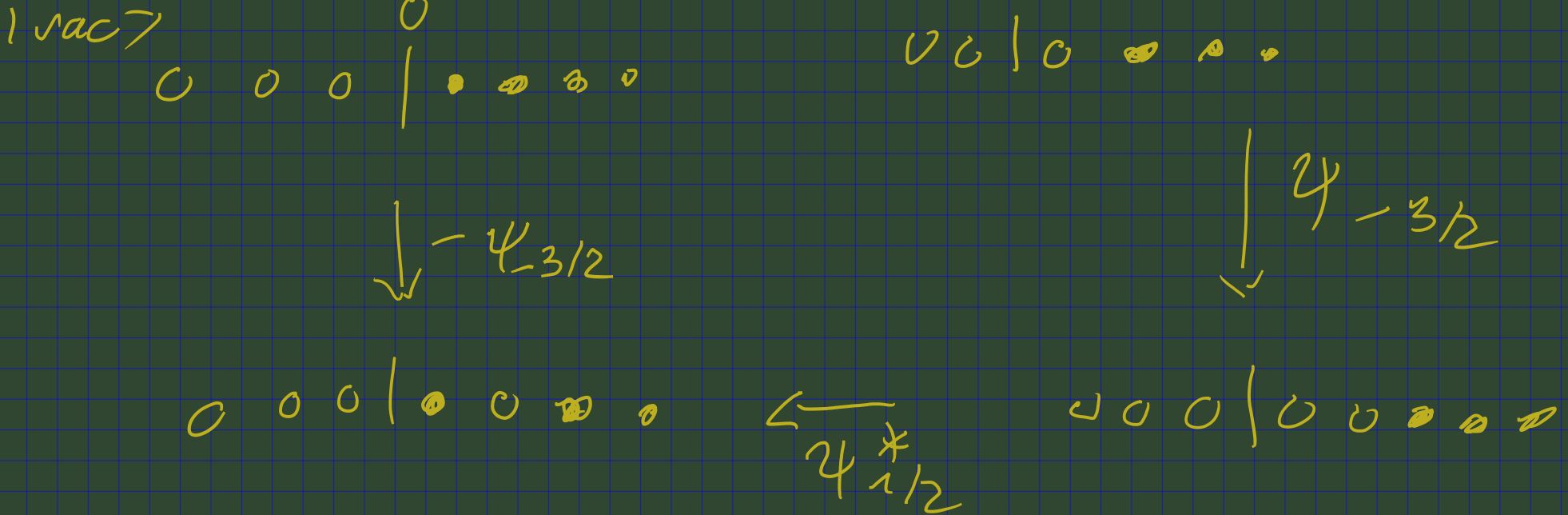
Ej

Es interesante pensar en un estado "virtual" de vacío total que tiene pures fichas blancas con esto tendríamos

$$| \psi_n | -R \rangle = 0 \text{ para } k \in \mathbb{Z}^+$$

entonces tendríamos también

$$| \text{vac} \rangle = \psi_{1/2}^* \psi_{3/2}^* \psi_{5/2}^* \dots | -R \rangle$$



4.4. Dualidad, carga y energía

Obs. Sea K un campo $\rightarrow A$ un
 K -álgebra es decir que tenemos
un homomorfismo unitario de

anillos $\mathcal{S}: K \rightarrow A$

$$\mathcal{S}(\varrho) \cdot a = a \cdot \mathcal{S}(\varrho)$$

E.g.

Vaca A
 $\varrho \in K$.

en este caso A es un K -obj.

vedrás la mult. es K -bilinear,

y cada A -módulo es también
un K -obj. red.

En esta situación

$$\text{Hom}_K(-, K): A\text{-Mod} \rightarrow \text{Mod-}A$$

un functor contravariante de módulos

se igualan las acciones a derecha / A

Si $f \in \text{Hom}_K(M, K)$ entonces

$$(f \cdot a)(m) := f(a \cdot m)$$

define efectivamente una estructura de A -módulo a derecha sobre

$$[-] \text{om}_K(M, K)$$

M será un A -módulo a izquierda.

OJO: Si claramente $M = \emptyset$ entonces el $\text{Hom}_K(M, K)$ es muy grande

Bayó ciertas condiciones de Ruitfeld
por ejemplo si

$$\mathcal{A} = \bigoplus_{d \in \mathbb{Z}} \mathcal{A}_d \quad \text{es una álgebra}$$

graduado : $\mathcal{A}_{d_1} \circ \mathcal{A}_{d_2} \subset \mathcal{A}_{d_1+d_2}$

y $M = \bigoplus_{d \in \mathbb{Z}} M_d$ graduado

$$\mathcal{A}_{d_1} \circ M_{d_2} \subset M_{d_1+d_2}$$

y las componentes son
de dim Ruitfeld ($\dim \mathcal{A}_d$) $\forall M_d \leq \infty$

en tener $\text{pro\text{-}dom}$ construir el
ideal graduado

$$M^* := \bigoplus_{d \in \mathbb{Z}} \text{Hom}(M_d, K)$$

$M^* - d$

entonces M^* es un módulo
graduado a la derecha $>$

$$\gamma M^{**} \cong M$$

Esto es implícito en la
construcción del espacio

dual de Fock formanica \tilde{S}^* .

El espacio de Fock dual

tiene una base que también está parametrizada por los diagramas de Maya, pero ahora basta a recordar las posiciones de las fichas blancas :

$$\cdots / m_3, m_2, m_1 \rangle$$

con los $m_i \in \mathbb{Z}^{+1/2} \rangle$ la

condición $m_{i+1} = m_i - 1$

$$\forall i > 0$$

$$\gamma \quad n_{i+1} < n_i \quad v_i$$

se define una acción a derecha
por

$$f^k = \bigoplus C \langle \underline{m} \rangle$$

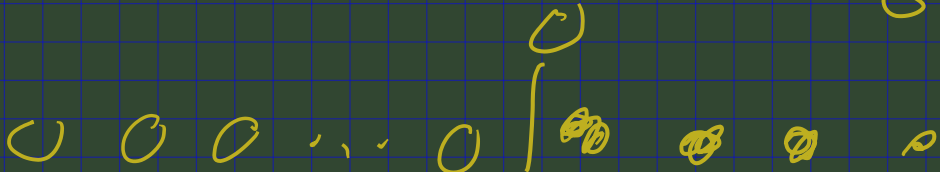
\underline{m} suc. cero

$$\langle \underline{m} | \psi_m = \begin{cases} (-1)^i & m_{i-1} < m < m_{i+1} \\ 0 & \text{otro caso} \end{cases}$$

$n_i \quad n_{i-1} < m < n_{i+1}$
para algún i

$$\langle \underline{m} | \psi_m^* = \begin{cases} (-1)^{i-1} & m_{i-1}, m_{i+1} \neq \\ & m = -n_i \quad \text{para algún} \\ & i \\ 0 & \text{otro caso.} \end{cases}$$

El estado $\langle \text{vac} |$ dual
corresponde al mismo diag. de
Waya



que esta codificada por la
sucesión

$$\dots, -\frac{3}{1}, -\frac{3}{2}, -\frac{1}{2})$$
$$n_2 \quad m_1$$

Observamos:

$$\langle \text{vac} | \psi_n^{(+)} = 0 \quad \forall n < 0$$

es decir que

$\langle \text{vac} \rangle$ o anulado por las operaciones de creación \dagger

$$(2) \hat{f}^* = \langle \text{vac} \rangle \cdot \alpha$$

mas precisamente recuperamos los diag. de Maje pi multiplicados con monomios de la forma

$$y_{m_1} y_{m_2} \cdots y_{m_r} y_{n_1}^* \cdots y_{n_s}^k$$

con

$$0 < m_1 < m_2 < \dots < m_r$$

$$0 < n_1 < n_2 < \dots < n_s$$